



中国科学院化学研究所
INSTITUTE OF CHEMISTRY CHINESE ACADEMY OF SCIENCES

分析测试中心

分析测试中心

简册

(第五版)

2022.9

目录 CONTENTS

- 01 ○ 质谱组 (北京质谱中心)
- 05 ○ 核磁组 (院三所共建核磁实验室)
- 08 ○ 电镜组
- 11 ○ X 射线衍射组
- 13 ○ 光电子能谱组
- 15 ○ 光谱组
- 18 ○ 元素分析组
- 20 ○ 生物电镜组
- 21 ○ 仪器研发岗
- 22 ○ 功能开发——原位检测技术

分析测试中心简介

中国科学院化学研究所仪器中心成立于 1988 年，于 1995 年更名为分析测试中心，是我国综合实力较强的分析机构之一。

分析测试中心集中了化学研究所公用大型分析仪器，主要定位于从事各种检测与表征，以及紧密围绕科研需求有关方法学研究和测试功能开发工作，包括组成分析、结构分析、形态分析、仪器功能拓展与开发，发挥了分析测试服务、分析方法研究和分析人员培训的作用，有力地支持了化学所、中科院及全国的有关领域的科研和生产工作。

分析测试中心下设 7 个测试机组（质谱组、核磁组、X 射线衍射组、电镜组、光电子能谱组、光谱组、元素分析组），其中大型仪器中心——北京质谱中心和院三所共建 600 兆核磁共振实验室挂靠在化学所。根据工作需要，又设置了仪器研发岗位和生物电镜组。

质谱组（北京质谱中心）

负责人



汪福意

博士，研究员，博士生导师，北京质谱中心主任。

研究方向为质谱分析，致力于发展和建立质谱和质谱成像分析方法，从细胞和分子水平上研究金属抗肿瘤药物的分子作用机制及药代动力学特性，建立药物的构效关系，取得了具有重要意义的研究成果，在 PNAS, JACS, Angew Chem Int Ed, Chem Commun 和 Anal Chem 等重要刊物上发表学术论文 98 篇。作为项目负责人先后承担了国家自然科学基金重大研究计划项目、重点项目、国际重点合作和面上基金项目、国家 973 项目（课题负责人）和中国科学院百人计划项目等。

联系方式：010-62529069, fuyi.wang@iccas.ac.cn



赵镇文

博士，研究员，博士生导师，质谱组负责人。

研究方向为质谱分析，在有机合成化合物、脂质、糖等物质的分析新方法及应用领域开展了大量的研究工作。承担基金委面上、北京市科委重大前沿专项等项目，已在 Anal Chem、J Clin Oncol、Nature Med 等重要刊物上发表学术论文 60 余篇。

联系方式：010-62561239, zhenwenzhao@iccas.ac.cn

仪器主管



辛斌

高级工程师，主管岛津 LCMS-2010 质谱仪，主要负责质谱分析及化合物结构解析。

质谱组（北京质谱中心）



刘健安

硕士，高级工程师，负责 MALDI-FT-ICR-MS 仪器样品测试及仪器维护，LC-Orbitrap-MS 的常规液质样品测试，实验室安全，经费报销，收入统计。



王振鹏

硕士，工程师，主责单级、三重四极气质联用仪方法构建、分析测试、数据解析、日常维护。仪器功能开发、开放仪器的管理和培训学生上机。



魏金超

硕士，工程师，负责高分辨气质联用仪（GC-Orbitrap）和飞行时间高分辨质谱仪（Q-tof）样品测试及仪器维护；承担实验室实验用品的领取。



韩娟娟

硕士，工程师，9.4T FT-ICR-ESI 质谱仪，Orbitrap 质谱仪的纳升离子源、Waters 离子淌度质谱仪；负责所外预付费单位的合同签订和开具发票。

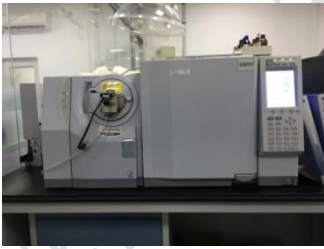


李书沐

博士，高级工程师，负责 Bruker Ultraflex 基质辅助激光解吸飞行时间质谱样品测试及仪器维护，负责实验室一些文案的总结、表格上报。

质谱组（北京质谱中心）

主要仪器

<p>飞行时间质谱仪 (Bruker Autoflex III-MALDI-TOF-MS)</p>  <p>主要测试分子量大于 400 的极性化合物。</p>	<p>液相色谱质谱联用仪 (Thermo-Fusion Lumos-LCMS)</p>  <p>测定高极性混合样品高分辨高准确度分子量，可推算出化合物的具体元素组成。</p>	<p>傅立叶变换离子回旋共振质谱仪 (BrukerSolarix- FT-ICR-MS)</p>  <p>高分辨高准确度地测定分子量，可推算出化合物的具体元素组成。</p>
<p>三重四极杆型高灵敏度气质联用仪 (Waters Xevo TQ-GC)</p>  <p>主要用于低极性混合样品的低分辨分析。</p>	<p>气相色谱质谱联用仪 (岛津 Ultra GC-MS)</p>  <p>主要用于低极性混合样品的低分辨分析。</p>	<p>飞行时间质谱仪 (Bruker Ultraflex MALDI-TOF-MS)</p>  <p>主要测试分子量大于 400 的极性化合物。</p>
<p>气相色谱质谱联用仪 (Thermo Exactive GC)</p>  <p>中低极性混合样品的高分辨测定。</p>	<p>液相色谱质谱联用仪 (岛津 LCMS-2010-LCMS)</p>  <p>高极性混合样品的低分辨测定。</p>	<p>飞行时间高分辨质谱仪 (Bruker Compact)</p>  <p>中低极性混合样品的高分辨测定。</p>

质谱组（北京质谱中心）

支撑工作举例（共同署名论文或致谢）

共同署名论文

1. Zhaoying Wang, Yanyan Zhang, Bingwen Liu, Kui Wu, Suntharampillai Thevuthasan, Donald R. Baer, Zihua Zhu, Xiaoying Yu, and **Fuyi Wang**, In situ mass spectrometric monitoring of the dynamic electrochemical process at the electrode-electrolyte interface: a SIMS approach, *Anal. Chem.* **2017**, *89*, 960.
2. Suyan Liu, Wei Zheng, Kui Wu, Yu Lin, Feifei Jia, Yang Zhang, Zhaoying Wang, Qun Luo, Yao Zhao, and **Fuyi Wang**, Correlated mass spectrometry and confocal microscopy imaging verifies the dual-targeting action of an organoruthenium anticancer complex, *Chem. Commun.* **2017**, *53*, 4136.
3. Zhifeng Du, Quo Luo, Liping Yang, Tao Bing, Xianchan Li, Wei Guo, Kui Wu, Yao Zhao, Shaoxiang Xiong, Dihua Shangguan, and **Fuyi Wang**, Mass spectrometric proteomics reveals that nuclear protein positive cofactor PC4 selectively binds to crosslinked DNA by a trans-platinum anticancer complex, *J. Am. Chem. Soc.* **2014**, *136*, 2948.
4. Yangyang Zhang, Shilei Li, and **Zhenwen Zhao**, Using nanoliposomes to construct a FRET-based ratiometric fluorescent probe for sensing intracellular pH values, *Anal. Chem.* **2016**, *88*, 12380.
5. Lin Li, Linlin Wang, Dihua Shangguan, Yanbo Wei, **Juanjuan Han**, Shaoxiang Xiong, and **Zhenwen Zhao**, Ultra-high-performance liquid chromatography electrospray ionization tandem mass spectrometry for accurate analysis of glycerophospholipids and sphingolipids in drug resistance tumor cells, *J. Chromatogr. A* **2015**, *1381*, 140.
6. Yanbo Wei, **Shumu Li**, Jingxia Wang, Chunying Shu, **Jian'an Liu**, Shaoxiang Xiong, Jianwen Song, Junjie Zhang, and **Zhenwen Zhao**, Polystyrene spheres-assisted matrix-assisted laser desorption ionization mass spectrometry for quantitative analysis of plasma lysophosphatidylcholines, *Anal. Chem.* **2013**, *85*, 4729.

核磁组（院三所共建核磁实验室）

负责人



向俊锋

博士，项目研究员，分析测试中心副主任，核磁组负责人。2012年入选中国科学院“关键技术人才”，作为主要技术支持者，获2014、2009和2007年中国分析测试协会科学技术奖二等奖、一等奖和三等奖各一项，2015年北京市科学技术奖二等奖，发表合作论文190余篇，专利10余项。担任北京市分析测试协会波谱分会副理事长，中国分析测试协会波谱专业组仪器评测专家。

联系方式：010-62627946, jfxiang@iccas.ac.cn

仪器主管



李骞

博士，高级工程师，主要从事核磁新技术应用开发、核磁计算方法应用开发，辅助完成仪器维护及功能开发，协管 NEO 600 固体核磁谱仪及 NEO 700 核磁谱仪。



崔洁

硕士，工程师，主管 AV600 核磁谱仪、Fourier 300 核磁谱仪、AV III 400 HD 核磁谱仪，主要负责核磁共振脉冲序列、技术方法的应用及改进。



武宁宁

硕士，工程师，主管固体 400 兆核磁谱仪、NEO 600 WB 核磁谱仪、AV400 液体核磁谱仪三台设备，负责氦回收系统、空压机组各一套。

核磁组（院三所共建核磁实验室）



管爱娇

博士，助理研究员，主要从事固体核磁新技术应用开发，辅助完成仪器维护与功能开发，主管布鲁克 NEO 600 核磁谱仪，协管 AVIII 400 宽腔固体核磁谱仪。

主要仪器

Bruker NEO 700 核磁共振谱仪



测量液体氢谱、碳谱、杂核和二维谱，主要提供复杂和低浓度液体核磁测试。

Bruker NEO 600 核磁共振谱仪



测量固体氢谱、碳谱、杂核和二维谱，主要提供复杂固体核磁测试。

Bruker AV 600 核磁共振波谱仪



测量氢谱、碳谱、杂核谱，扩散序谱和二维核磁，主要提供复杂液体核磁测试。

Bruker AV III 500 wb 核磁共振波谱仪



测量氢谱、碳谱、杂核谱、扩散、微成像，主要提供高低温复杂液体、扩散和微成像核磁测试。

Bruker AV III 400 核磁共振波谱仪



测量固体氢谱、碳谱、杂核和二维谱，专门提供固体核磁测试。

Bruker AV III 400 HD 核磁共振波谱仪



常规氢谱、碳谱测试。

Bruker AV II+ 400 核磁共振波谱仪



硅谱等杂核测试。

Bruker AV 400 核磁共振波谱仪



常规氢谱、碳谱测试。

Bruker Fourier 300 核磁共振波谱仪



常规氢谱、碳谱测试。

核磁组（院三所共建核磁实验室）

NIUMAG（纽迈）低场核磁谱仪



纵向弛豫时间 T_1 、横向弛豫时间 T_2 测定。

Bruker Avance NEO 600SB 固体核磁共振波谱仪



测试固体氢谱、碳谱、杂核谱和二维谱。

支撑工作举例（共同署名论文或致谢）

核磁组专著与论文

1. 向俊锋, 周秋菊 等译, 核磁共振波谱学: 原理、应用和实验方法导论 (原著第二版), 化学工业出版社, 2021, ISBN: 978-7-122-38756-1.
2. Li Q, Tang Y, Xiang J. An on-Line NMR Chemical Shift Prediction Platform Based on Density Functional Theory. *Chin. J. Mag. Res.*, 2020, 38(1), 22-31.

共同署名论文

1. Yudong Yang, Chuancai Fan, Brett M. Rambo, Hanyuan Gong, Lijin Xu, Junfeng Xiang, and Johathan L. Sessler, Multicomponent self-assembled metal-organic 3 rotaxanes, *J. Am. Chem. Soc.* 2015, 137, 12966.
2. Zheng Meng, Ying Han, Lina Wang, Junfeng Xiang, Shenggui He, and Chuanfeng Chen, Stepwise motion in a multivalent [2](3) catenane, *J. Am. Chem. Soc.* 2015, 137, 9739.
3. Lixia Wang, Benquan Hu, Junfeng Xiang, Jie Cui, Xiang Hao, Tongling Liang, and Yalin Tang, N_{aryl} -substituted anthranilamides with intramolecular hydrogen bonds, *Tetrahedron* 2014, 70, 8588.
4. Xinxin Sang, Jianling Zhang, Junfeng Xiang, Jie Cui, Lirong Zheng, Jing Zhang, Zhonghua Wu, Zhihong Li, Guang Mo, Yuan Xu, Jinliang Song, Chengcheng Liu, Xiuniang Tan, Tian Luo, Bingxing Zhang, and Buxing Han, Ionic liquid accelerates the crystallization of Zr-based metal-organic frameworks, *Nat. Comm.* 2017, 8, 175.
5. Guanghui Ouyang, Yanmei He, Yong Li, Junfeng Xiang, and Qinghua Fan, Cation-triggered switchable asymmetric catalysis with chiral aza-crownphos, *Angew. Chem. Int. Ed.* 2015, 54, 4334.

电镜组

负责人



关波

博士，高级工程师，电镜组负责人。

2016年入选中国科学院“关键技术人才”，2015年获“第六届中国显微摄影大赛”二等奖，2013年获得“北京纳米科学大型仪器区域中心优秀仪器管理员评比”特等奖，2011年获“中国科学院研发实验服务基地测试基金”二等奖。熟悉扫描电镜及透射电镜的分析原理及仪器构造，具有丰富的电镜相关测试及电镜样品制备经验。

联系方式：010-62588935, guanbo@iccas.ac.cn。

仪器主管



岳纪玲

硕士，工程师，主管冷冻电镜 Themis 300 及附属制样设备，负责冷冻电镜的仪器维护、样品制备、测试及技术开发。



泰靖

硕士，工程师，主管透射电镜 JEM-2100F, JEM-F200, HT-7700, 负责仪器维护、培训、上机测试及技术开发。



李肇华

博士，助理研究员，主管扫描电镜 S-4800, SU8020, Regulus8230 及附属制样设备，负责仪器维护、培训、测试及技术开发。

电镜组



程永鑫

博士，特别研究助理，主管球差校正透射电镜 Spectra 300 的到货、场地建设、安装、仪器维护、测试及技术开发。



梁丽荣

主管双束电镜 Helios NanoLab G3 CX 及冷冻系统的仪器维护、测试及技术开发，负责超薄切片样品制备。



刘凯昂

主管冷冻电镜 Themis 300 及附属制样设备，负责冷冻电镜的仪器维护、样品制备、测试及技术开发。辅助管理透射电镜 JEM-2010 及 626 冷冻传输样品杆。



常文博

主管透射电镜 JEM-2010, JEM-1011 及附属设备，负责仪器维护、样品制备、培训、上机测试。

主要仪器

S-4800 扫描电子显微镜



固体材料表面微观形貌观察，EDS 附件可进行定性半定量成分分析。

SU8020 扫描电子显微镜



固体材料表面微观形貌观察，EDS 附件可进行定性半定量成分分析。

JEM-1011 透射电子显微镜



样品内部结构观察，电子衍射可以分析晶体结构。

HT7700 透射电子显微镜



样品内部结构观察，适用于高分子、纳米材料。

JEM-2011 透射电子显微镜



样品内部结构观察，可实现高分辨观察。

Helios NanoLab G3 CX
聚焦离子束-电子束双束电镜

扫描电镜实时观察下，实现定点刻蚀与沉积、特定区域微/纳图案制备、定点制备 TEM 样品、三维重构成像。

JEM-2100F 透射电子显微镜



样品内部结构观察，可实现高分辨观察，配置 STEM、EDS 附件，电子衍射可分析晶体结构。

JEM-F200 透射电子显微镜



扫描电镜实时观察下，实现定点刻蚀与沉积、特定区域微/纳图案制备、定点制备 TEM 样品、三维重构成像。

Themis 300 冷冻透射电镜



低温条件下进行三维电子衍射、三维电子断层成像及单颗粒重构等数据采集，经解析得到样品的三维微观结构。

支撑工作举例(共同署名论文或致谢)

共同署名论文

1. Huizeng Li, Mingzhu Li, Qiang Yang, Xiaoli Sun, **Bo Guan**, and Yanlin Song, A self-growing strategy for large-scale crystal assembly tubes, *Chem. Asian J.* **2018**, 10, 1002/ asia. 201800044.
2. Guangwei Geng, **Bo Guan**, Penglei Chen, Mingshan Zhu, Changchun Yang, and Minghua Liu, Highly efficient visible-light-driven plasmonic photocatalysts based on graphene oxide mediated hybridization of graphite and Ag/AgBr, *RSC Adv.* **2017**, 7, 9948.
3. Li Zheng, Kejian Jiang, Jinhua Huang, Yu Zhang, Bin Bao, Xueqin Zhou, Hujia Wang, **Bo Guan**, Lian Min Yang, and Yanlin Song, Solid-state nanocrystalline solar cells with an antimony sulfide absorber deposited by an in situ solid-gas reaction, *J. Mater. Chem. A* **2017**, 5, 4791.

致谢论文

1. Xueping Cui, Zhizhi Kong, Enlai Gao, Dazhen Huang, Yang Hao, Hongguang Shen, Chongan Di, Zhiping Xu, Jian Zheng, and Daoben Zhu, Rolling up transition metal dichalcogenide nanoscrolls via one drop of ethanol, *Nat. Comm.* **2018**, 9, 1301.
2. Yifan Yao, Huanli Dong, Feng Liu, Thomas P. Russell, and Wenping Hu, Approaching intra- and interchain charge transport of conjugated polymers facilely by topochemical polymerized single crystals, *Adv. Mater.* **2017**, 1701251.

X 射线衍射组

负责人



郝项

博士，副研究员，X 射线衍射组负责人。

物理化学专业，专长化学晶体学和 X 射线衍射，具有扎实的 X 射线晶体学基础知识，擅长单晶结构解析，对 X 射线衍射仪的原理和构造有深入了解，具有一定的仪器故障排查和维修能力。

2016 年入选中国科学院“关键技术人才”。

联系方式：010-62658187, haoxiang@iccas.ac.cn。

仪器主管



梁同玲

硕士，高级工程师，单晶测试、培训和结构解析。



孙杨

硕士，工程师，多晶测试、培训和结构解析。

X 射线衍射组

主要仪器

<p>Rigaku D/max2500 多晶 X 射线衍射仪</p>  <p>测试多晶样品和物相分析。</p>	<p>PANalytical Empyrean 多晶 X 射线衍射仪</p>  <p>测试多晶样品，具有低温（室温到 110K）变温测试功能。</p>	<p>PANalytical Empyrean 多晶 X 射线衍射仪</p>  <p>测试多晶样品，具有高温（室温到 1100 摄氏度）变温测试功能。</p>
<p>Rigaku MM007HF 单晶 X 射线衍射仪</p>  <p>测试单晶样品和结构解析，光源为钼靶，侧重无机样品。</p>	<p>Rigaku ST-Saturn724+ 单晶 X 射线衍射仪</p>  <p>测试单晶样品和结构解析。</p>	<p>Rigaku Synergy-R 单晶 X 射线衍射仪</p>  <p>测试单晶样品和结构解析，光源为铜靶，侧重有机样品。</p>

支撑工作举例（共同署名论文或致谢）

共同署名论文

1. Zheng Wang, Gregory A. Solan, Qaiser Mahmood, Qingbin Liu, Yanping Ma, **Xiang Hao**, and Wenhua Sun, Bis(imino)pyridines incorporating doubly fused eight-membered rings as conformationally flexible supports for cobalt ethylene polymerization catalysts, *Organometallics* **2018**, 37, 380.
2. Caiming Liu, Deqing Zhang, **Xiang Hao**, and Daoben Zhu, Field-induced relaxation of magnetization in a three-dimensional LnMOF with the second bridging ligand squarar, *ACS Omega* **2016**, 1, 286.
3. Liyun Ji, Wei Zheng, Yu Lin, Xiuli Wang, Shuang Lü, **Xiang Hao**, Qun Luo, Xianchan Li, Ling Yang, and Fuyi Wang, Novel ruthenium complexes ligated with 4-anilinoquinazoline derivatives: Synthesis, characterisation and preliminary evaluation of biological activity, *Eur. J. Med. Chem.* **2014**, 77, 110.
4. Bin Zhang, Yan Zhang, Jinbiao Zhang, **Xiang Hao**, and Daoben Zhu, $Mn(C_2O_4)(H_2O)_{0.25}$: An antiferromagnetic oxalato-based cage compound, *Dalton Trans.* **2011**, 40, 5430.
5. Xiaohong Tian, **Xiang Hao**, **Tongling Liang**, and Chuanfeng Chen, Triptycene-derived calix[6] arenes: Synthesis, structure and tubular assemblies in the solid state, *Chem. Commun.* **2009**, 6771.

光电子能谱组

负责人



赵志娟

博士，高级工程师，光电子能谱组负责人。擅长电子能谱分析表征及相关分析研究，具有丰富的表面分析研究与测试经验。授权国家发明专利和实用新型专利 4 项。发表及合作研究论文十余篇，承担和参与制修订国家标准 7 项。2020、2011 年分获中国分析测试协会科学技术奖二等奖 2 项，2020 年获得“中国标准创新贡献奖”二等奖。2016 年获得北京物质科学与纳米技术大型仪器区域中心优秀仪器管理员“突出贡献奖”。担任全国微束分析标准化技术委员会表面化学分析分技术委员会委员，北京理化分析测试技术学会表面分析理事。

联系方式：010-62553516, zhaozj@iccas.ac.cn。

仪器主管



章小余

硕士，工程师，主管 Nexsa 多技术集成型 X 射线光电子能谱仪，协管 ESCALab 250Xi 多功能 X 射线光电子能谱仪和 Niton XL3t 980 能量色散型 X 射线荧光分析仪。负责准原位装置的技术改进与成果推广。



屈宝龙

主管 Niton XL3t 980 能量色散型 X 射线荧光分析仪，协管 Nexsa 与 ESCALab 250Xi X 射线光电子能谱仪，主要负责 XRF 测试、XPS 与 UPS 制样及仪器日常维护。

光电子能谱组

主要仪器

ESCALab250Xi 多功能电子能谱仪



SAXPS、UPS、深度剖析、低温/半原位功能等。

Nexsa 多技术集成型电子能谱仪



SAXPS、UPS、深度剖析(团簇离子源)、准原位功能、元素/化学态成像、真空原位拉曼。

Niton XL3t 能量色散型 X 射线荧光分析仪



痕量金属元素检测。

支撑工作举例(共同署名论文或致谢)

共同署名论文

1. Yunyan Wu, Shouwei Zuo, Yanfei Zhao*, Huan Wang, Dongyang Li, Shien Guo, **Zhijuan Zhao**, Jing Zhang, Buxing Han and Zhimin Liu*, Biomass-derived metal-organic hybrids for CO₂ transformation under ambient conditions, *Green Chem.*, **2020**, 22, 2846.
2. Dexin Yang, Qinggong Zhu, Chunjun Chen, Huizhen Liu, **Zhijuan Zhao**, Xiaoyu Zhang, Shoujie Liu, Buxing Han*, Selective electroreduction of carbon dioxide to methanol on copper selenide nanocatalysts, *Nat. Commun.*, **2019**, 10, 677.
3. Fanghui Liu, Hui Yang*, Jingyao Wang, Yuchen Qian, Jiazhong Wu, Siyuan Li, Qingjie Liu, Siyu Yang, Shijing Xu, Xiaoyu Zhang, **Zhijuan Zhao**, Jinben Wang*, Molecular interaction between asphaltene and quartz with different surface wettability: A combined study of experimental measurement and theoretical Calculation, *Fuel*, **2019**, 258, 1159.

致谢论文

1. Tang Tang, Wen-Jie Jiang, Xiao-Zhi Liu, Jun Deng, Shuai Niu, Bin Wang, Shi-Feng Jin, Qiang Zhang, Lin Gu, Jin-Song Hu*, and Li-Jun Wan*, Metastable Rock Salt Oxide-Mediated Synthesis of High-Density Dual-Protected M@NC for Long-Life Rechargeable Zinc-Air Batteries with Record Power Density, *J. Am. Chem. Soc.*, **2020**, 142, 7116.
2. Bingfeng Chen, Minghua Dong, Shulin Liu, Zhenbing Xie, Junjuan Yang, Shaopeng Li, Yanyan Wang, Juan Du, Huizhen Liu*, and Buxing Han*, CO₂ Hydrogenation to Formate Catalyzed by Ru Coordinated with a N,P-Containing Polymer, *ACS Catal.* **2020**, 10, 8557.

光谱组

负责人



刘美蓉

博士，高级工程师，光谱组负责人。

分析化学专业，积累了丰富的光谱测试经验，擅长光学显微成像、荧光光谱和拉曼光谱疑难问题的解决。2018年入选中国科学院“关键技术人才”，同年获北京物质科学与纳米技术大型仪器区域中心优秀仪器管理员“突出贡献奖”。现任中国显微图像网显微专家、中国科学院大学前沿化学实验主讲教师、中国科学院工程技术系列高级工程师任职资格评审委员会委员。

联系方式：010-62527509, mrliu@iccas.ac.cn。

仪器主管



丰荣娟

博士，助理研究员，主管显微共焦激光拉曼光谱仪、真空显微傅里叶红外光谱仪、紫外可见近红外分光光度计及激光扫描共聚焦显微镜，主要负责仪器培训、测试，设计开发光谱仪器新方法、新功能。



王娴

博士，助理研究员，主管稳态瞬态荧光光谱仪、荧光光谱仪、仪器设备共享网及财务相关工作；设计开发光谱仪器新方法、新功能等。



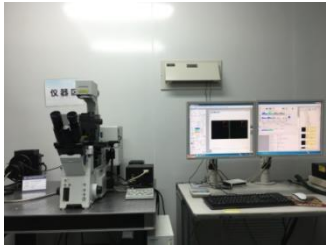
丁丽萍

硕士，高级工程师，担任分析测试中心秘书、院仪器共享网所级管理员的工作，协管共聚焦显微镜和荧光显微镜。

光谱组

主要仪器

Olympus FV1000 激光扫描共聚焦显微镜



XY 扫描、时间扫描、三维扫描、光谱扫描、FRET、FRAP、SIM（同步光刺激）。

Olympus IX83 倒置荧光显微镜



荧光和 DIC（微分干涉差）观察。

Horiba 显微共焦激光拉曼光谱仪



单点扫描、时间扫描、Mapping、偏振、变温超低波数测试、PL 测试等。

Bruker VERTEX 70v 真空显微红外光谱仪



透射红外、ATR、漫反射、显微红外、原位红外。

PE1050 紫外可见近红外分光光度计



液体测试、固体积分球测试。

Jasco J-1700 圆二色光谱仪



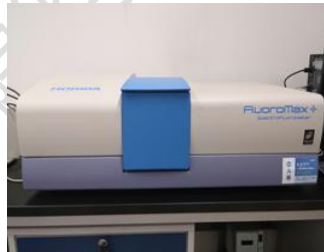
常规测试、LD 测试、变温测试、DRCD 漫反射、FDCC 荧光检测。

Edinburgh FLS980 稳态瞬态荧光光谱仪



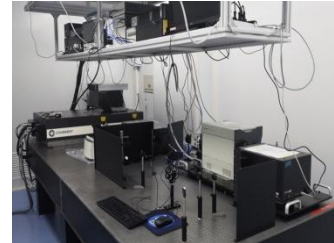
稳态光谱、荧光磷光寿命、量子产率、变温、红外二区、上转换。

Horiba FLuoroMax+ 荧光光谱仪



稳态光谱、绝对量子产率测试。

Astellra 飞秒超快光谱仪



时间分辨发射光谱测试、荧光寿命测试、光致发光光谱测试、激光脉宽测试、双光子激发荧光测试。

光谱组

支撑工作举例(共同署名论文或致谢)

共同署名论文

1. Ying Liu, Jin Zhou, Linlin Wang, Xiaoxiao Hu, Xiangjun Liu, **Meirong Liu**, Zehui Cao, Dihua Shangguan, and Weihong Tan, A Cyanine dye to probe mitophagy: Simultaneous detection of mitochondria and auto- lysosomes in live cells, *J. Am. Chem. Soc.* **2016**, *138*, 12368.
2. Nan Zhang, Tao Bing, Luyao Shen, Rusheng Song, Linlin Wang, Xiangjun Liu, **Meirong Liu**, Weihong Tan, and Dihua Shangguan, Intercellular connections related to cell-cell crosstalk specifically recognized by an aptamer, *Angew. Chem. Int. Ed.* **2016**, *55*, 3914.
3. Juan Qiao, Chuanfang Chen, Li Qi, and **Meirong Liu**, Intracellular temperature sensing by a ratiometric fluorescent polymer thermometer, *J. Mater. Chem. B* **2014**, *2*, 7544.
4. Tao Liao, Zhenpeng Guo, Jincheng Li, **Meirong Liu**, and Yi Chen, One-step packing of anti-voltage photonic crystals into microfluidic channels for ultra-fast separation of amino acids and peptides, *Lab Chip* **2013**, *13*, 706.
5. Suge Zhang, Hongxia Sun, Hongbo Chen, Qian Li, Aijiao Guan, Lixia Wang, Yunhua Shi, Shujuan Xu, **Meirong Liu**, and Yalin Tang, Direct visualization of nucleolar G-quadruplexes in live cells by using a fluorescent light-up probe, *Biochim. Biophys. Acta* **2018**, *1862*, 1101

元素分析组

负责人



李巧连

博士，高级工程师，元素分析组负责人。

具有丰富的元素定量分析经验，擅长各种类型化合物的有机及无机元素定量分析。主管电感耦合等离子体质谱仪，电感耦合等离子体发射光谱仪，元素分析仪对氧元素的定量分析和电位滴定仪对卤素的定量分析。

联系方式：010-62554625，liqiaolian@iccas.ac.cn。

仪器主管



罗晓菲

硕士，主管元素分析仪对碳、氢、氧、氮和硫元素的定量分析。



张文远

本科，负责电感耦合等离子体质谱仪及电感耦合等离子体发射光谱仪进行无机元素分析前的样品前处理工作。

元素分析组

主要仪器

Thermo FLASH SMART 元素分析仪



有机化合物中 C、H、N、O、S 元素的定量分析。

Mettler Toledo T7 自动电位滴定仪



有机化合物或溶液中 Cl、Br 元素的定量分析。

Agilent 5800 VDV 电感耦合等离子体发射光谱仪



金属元素和部分非金属元素（除 C、H、O、N、F、Cl、Br 元素外）的定量分析。

Thermo iCAP RQ 电感耦合等离子体质谱仪



金属元素和部分非金属元素（除 C、H、O、N、F、Cl、Br 元素外）的定量分析。

生物电镜组

负责人



何万中

博士，项目研究员，博士生导师，生物电镜组负责人。

生物电镜组主要利用高压冷冻/投入冷冻/冷冻替代/冷冻切片/cryo-FIB/冷冻电镜等技术，及我们最新原创可克隆电镜标记技术，开展分子水平的生物组织样品及原子水平分子结构的冷冻电镜科研工作（cryo-ET、cryo-EM、microED、STEM 等电镜三维结构分析与数据处理），同时我们也为所内冷冻电镜相关科研项目提供技术支持。在生物电镜领域有近 20 年科研经历，在 Science, Nature, Nature Methods 等重要杂志上发表过第一作者或通讯联系人论文，在电镜领域发表 30 余篇学术论文，新型可克隆电镜标记技术的原创开拓者。承担过两项新加坡 BMRC 国家级项目（项目负责人）和两项科技部 973 国家重点基础研究计划（课题负责人）。2010 年入选北京市海外高层次人才计划及“北京市特聘专家”。现任中国电子显微镜学会理事，中国生物物理学会冷冻电镜分会理事。
联系方式：010-82698319, hewanzhong@iccas.ac.cn。

工作人员



李昊

硕士，科研助理，主要负责细胞冷冻电子断层成像技术开发及应用及冷冻电镜三维结构分析（单颗粒及 microED）的数据处理及应用。

仪器研发岗

负责人



袁震

博士，高级工程师。

主管 Atla scan 扫描仪、ZQJ3200 氦质谱检漏仪、Sily X7 五轴加工中心和 ZD9620 电路板维修仪。擅长正/逆向机械设计、仪器控制软件开发、真空/控温系统设计与调试、多种类型飞行时间质谱仪整机开发,具有丰富的商业化仪器功能开发和个性化科学仪器及部件的研制经验。

主要仪器

Atlascan 三维扫描仪



扫描部件外形轮廓, 获得精确尺寸信息。

ZQJ-3200 氦质谱检漏仪



真空或密封系统漏点的检测。

Syil X7 五轴加工中心



对金属、工程塑料等材料进行五轴加工、修改。

ZD9620 电路板在线检测维修仪



快速、在线检测电路板故障元件。

功能开发——原位检测技术

光谱组

原位红外

1. 工作原理

在原 Tensor27 傅里叶红外光谱仪上集成 ATR 探头 (ZnSe)、光管、仪器接口, MCT 检测器, 通过检测经过 ATR 探头后全反射红外谱, 实时获得样品官能团结构的变化, 原位监测液相反应。

2. 实验结果

丙烯腈聚合反应过程中, 原位探测到羧基和双键峰位、峰强的变化: 2225cm^{-1} 处丙烯腈单体羧基逐渐减弱, 2242cm^{-1} 处聚丙烯腈羧基逐渐增强 (单体丙烯腈羧基和双键共轭, 因此羧基峰位较聚合物低); 975cm^{-1} 处丙烯腈单体双键逐渐减弱。羧基和双键峰位、峰强的变化表明已经发生聚合反应。

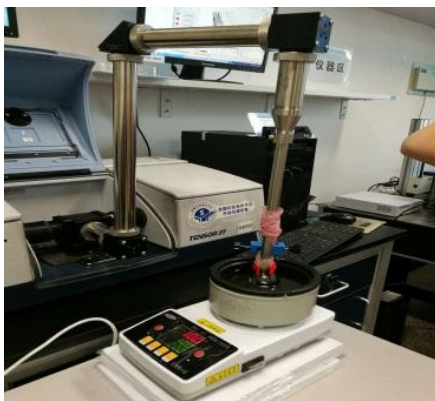


图 1 反应装置

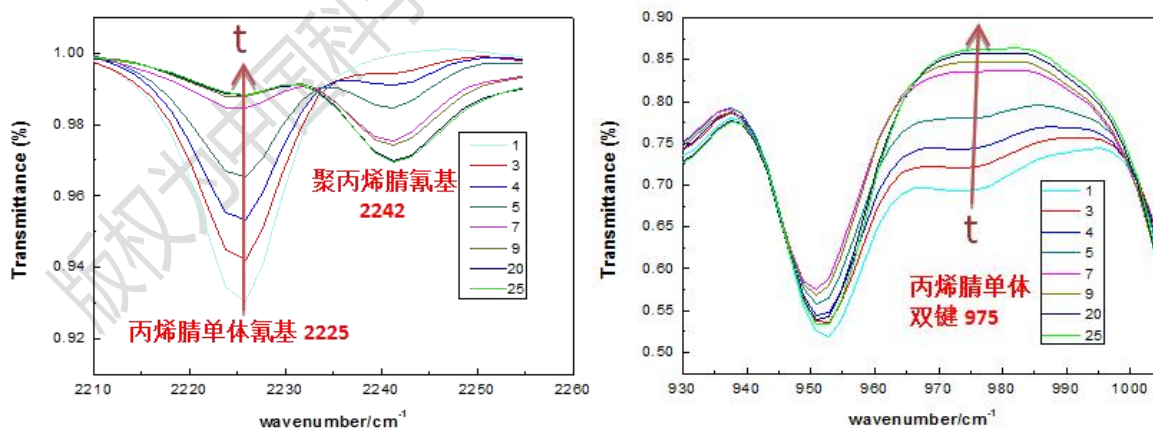


图 2 丙烯腈聚合反应过程中羧基和双键随时间的变化

功能开发——原位检测技术

X 射线衍射组

针对空气敏感型样品的 XRD 原位检测台

1. 工作原理

采用拆装重复定位精度好的模块化设计，包含可转移原位样品台和 XYZ 三维程控电动位移台两个模块，XYZ 三维程控电动位移台可在不打开衍射仪防辐射罩的情况下，实时精确调节样品位置，使样品始终处在标准位置，以保证衍射图谱峰位的准确性。可转移原位样品台为真空密封体系，采用了对 X-射线几乎没有衍射的高分子材料作为透射窗口，并将样品与大气环境有效隔离开，保证空气敏感型样品从制备环境到测试过程不受大气环境影响。样品环境既可以选择真空气氛（最高 0.1Pa），也可以选择惰性气氛（氮气或氩气）。

2. 实验结果

Li 片在这款检测台并处于真空气氛检测，衍射峰与标准数据完全吻合；而在空气中进行测试时，与标准数据对比，发现包含了纯 Li 和 LiOH 衍射峰。显而易见，使用我们研制的这款检测台，能够有效避免样品与空气接触，保证空气敏感型样品 XRD 图谱的真实性。

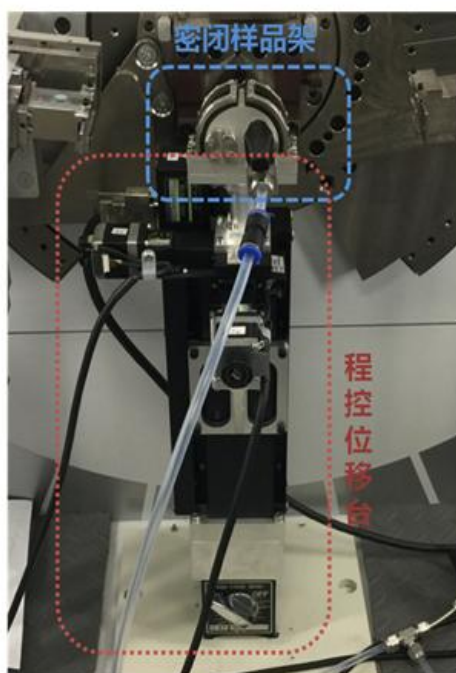


图 3 装置实物图

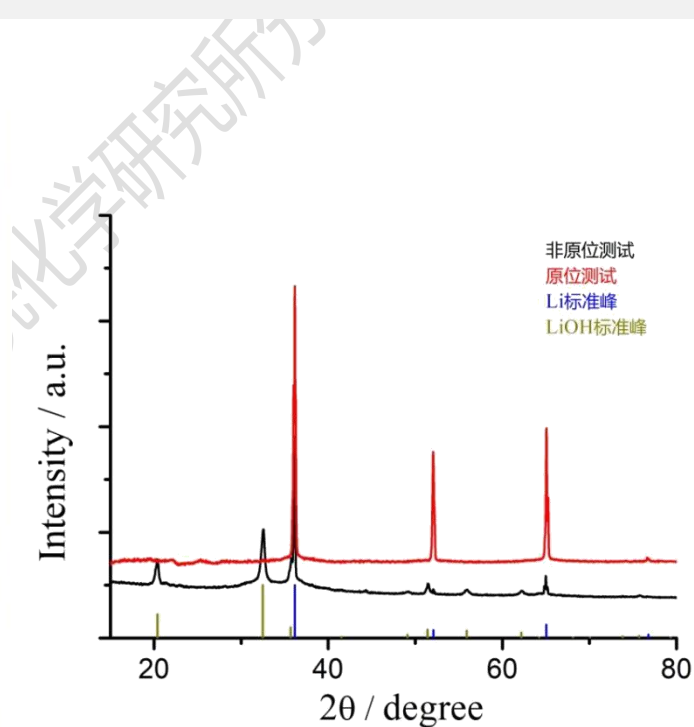


图 4 Li 片在常规样品台及在原位检测台中（真空气氛）测试 XRD 谱图

功能开发——原位检测技术

光电子能谱组

针对空气敏感型样品的 XPS 半原位样品转移装置

1. 工作原理

利用特殊设计的带有抽气开关的样品罩将装有待测样品的样品托真空密封（见图 5），保护样品从手套箱中制备完成到进入能谱仪的整个过程不接触大气，从而避免在样品转移过程中外界环境对样品表面状态造成影响，保证科研数据测试的准确性和有效性。

2. 实验结果

以金属负载型催化剂样品为例，如图 6 所示，其中 a 线代表采用半原位装置进样测得的 Co2p 谱图，b 线代表采用常规进样测得的 Co2p 谱图。可以看到，采用常规进样方式测试时，合成催化剂表面 Co 元素结合能为 780.5eV，对应 Co^{2+} ，表明 Co 元素基本全部被氧化，这归咎于在常规转移过程中样品不可避免接触大气环境，由于样品表面敏感极易与空气（主要是氧气）发生作用从而改变表面的真实状态；而采用半原位装置重新进行测试，结果显示催化剂表面的 Co 元素主要为 0 价的金属 Co（结合能为 777.4eV），还有少量的 Co^{2+} ，这反映了样品更真实的接近原位的表面化学状态。



图 5 XPS 半原位样品转移装置实物图（a-样品罩，b-样品托）

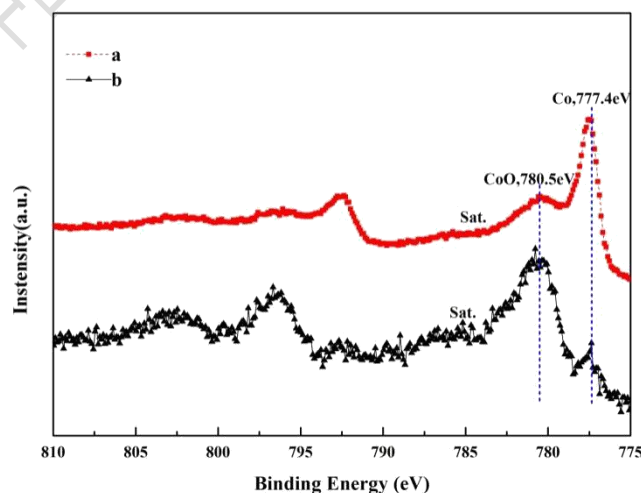


图 6 类石墨结构负载钴纳米粒子样品的 Co2p XPS 谱图

功能开发——原位检测技术

光电子能谱组

针对易挥发样品 XPS 测试的冷冻传输装置

1. 工作原理

利用特殊设计的样品转移模块将非常规易挥发样品（泛指有一定挥发性或在真空中不稳定的样品，如有机小分子材料、金属有机配合物材料、生物材料或凝胶类材料等）快速冷冻，转移至样品测试区（低温环境），可以实现此类样品的 XPS 测试，获得可靠的实验数据。

2. 实验结果

采用常规 XPS 测试时，某含卤素有机样品的 XPS 谱图上只有 C/O/Si 载体的信号，说明含卤素有机分子已经挥发掉了，数据没有意义。当采用低温 XPS 测试时，可以看到有明显的 N/F/I 有机分子信号出现，且 $N1s \sim 398.9\text{eV}$ ，对应于 C=N 结构； $I3d5 \sim 621.3\text{eV}$ ， $F1s \sim 687.8\text{eV}$ ，分别归属于 C-I 和 C-F 结构，I/F 元素的相对原子百分比近似 1:1。该结果真实反映了易挥发样品中有机分子的

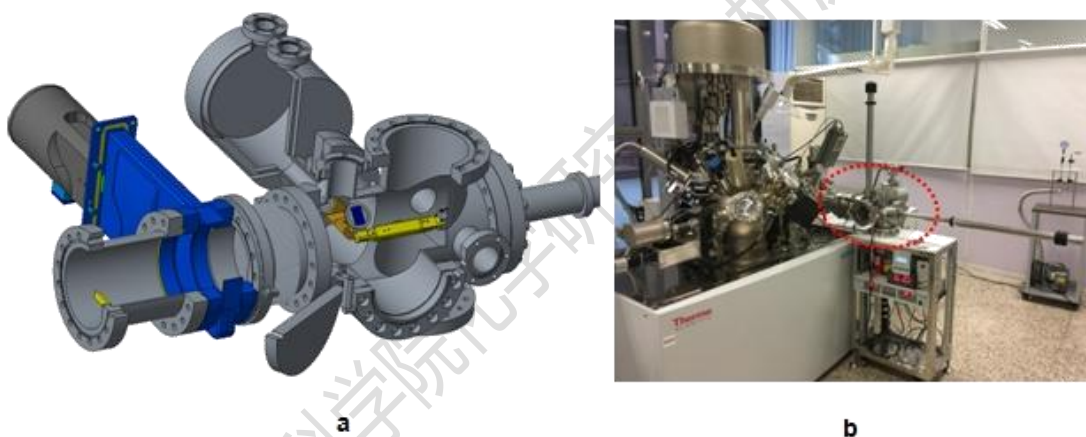


图 7 易挥发 XPS 样品冷冻传输装置图 (a-设计图, b-实物图)

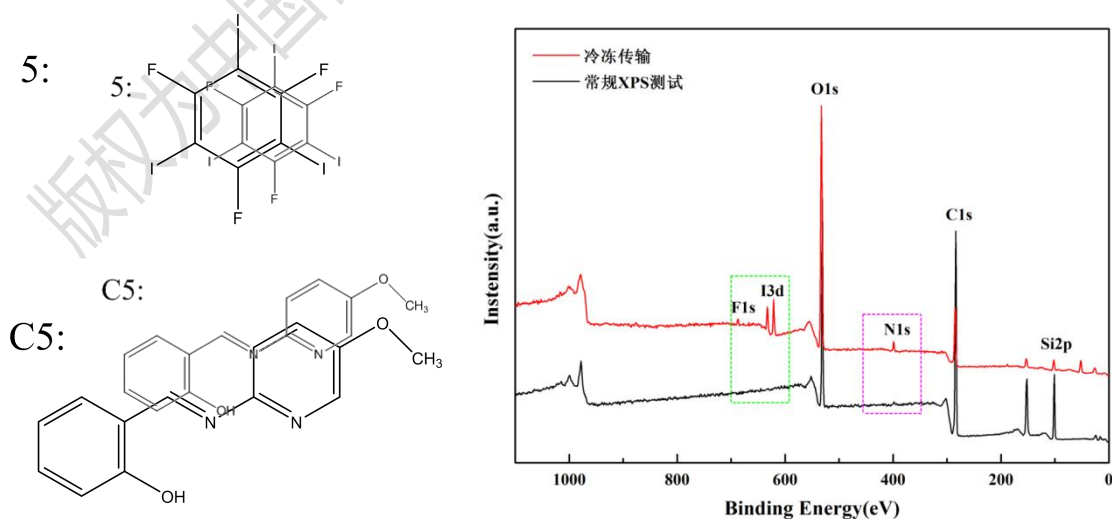


图 8 一类易挥发有机小分子样品的 XPS 测试结果

功能开发——原位检测技术

电镜组

液体样品透射电镜原位观察装置

1.工作原理

利用特殊设计的液体封装件将液体样品密封在该装置内部（见图 9），该装置包括两片大小相同的芯片及补充液体的样品台，将装配后的液体封装件装载于样品杆，置于透射电镜中，电子束穿过芯片上“透明”的 Si_3N_4 薄膜观察窗口，最终在透射电镜的成像系统形成图像，从而实现在透射电镜高真空条件下（ $\geq 10^{-4}\text{Pa}$ ）观察液体样品，可直接得到液相自组装结构、囊泡、胶束、乳液、细胞等样品的显微结构。

2.实验结果

以多肽分子及纳米颗粒在液相中的组装过程为例，如图 10 所示，应用该原位装置在透射电镜中观察到液相中多肽分子自组装过程，在 34 分 17 秒时，多肽分子逐渐靠近进行自组装（如图中红色标记所示），59 分 20 秒时完成自组装过程。如图 11 所示，应用该原位装置观察到了纳米粒子在液相环境中“从无到有”生成到逐渐长大形成多角星形状的纳米颗粒。



图 9 液体样品原位观察装置装配后示意图

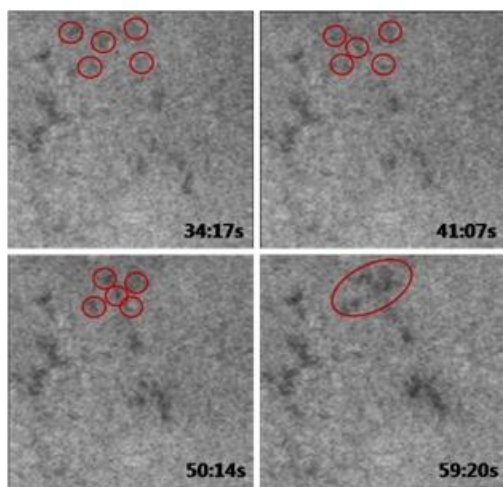


图 10 多肽分子在液相中的自组装过程

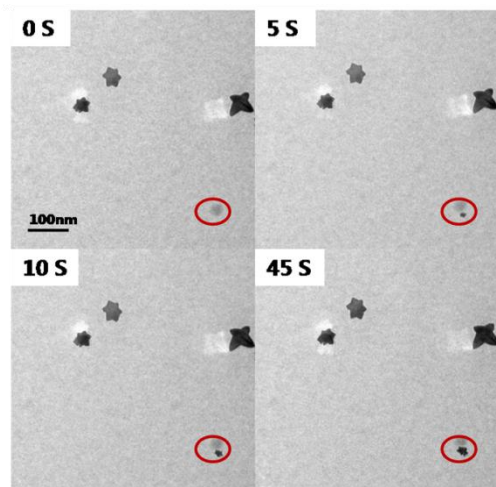


图 11 纳米颗粒在液相中的形成及生长过程

功能开发——原位检测技术

质谱组（北京质谱中心）

针对混合组分快速分析的薄层色谱板质谱检测装置

1. 工作原理

应用新型辉光放电离子枪所产生的离子束轰击薄层色谱板（TLC）表面，借助三维运动平台使 TLC 板上的每个样品点依次通过离子束并使样品电离，对 TLC 板采取直接连续采集模式的质谱分析，实现对 TLC 板的原位检测。无须对 TLC 板进行处理直接检测，节省后处理时间。且连续采集，可以在 TLC 板的每一个位置找到所对应的质谱图，解决了原有方法中刮取分离点造成的漏点或两点不能完全分开相互污染的现象。

2. 实验结果

三氨基喹啉与香豆素的混合物经过 TLC 板分离后，由新型辉光放电离子源在线检测 TLC 系统进行检测，如图 13 所示，分别在 TLC 板的不同位置检测到了三氨基喹啉的[M+H]⁺峰和香豆素的[M+H]⁺峰，完成了对混合物的质谱分离检测，从而实现了在 TLC 板的原位分析。

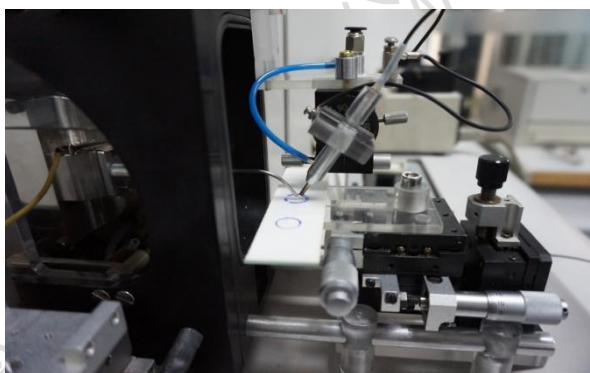


图 12 装置实物图

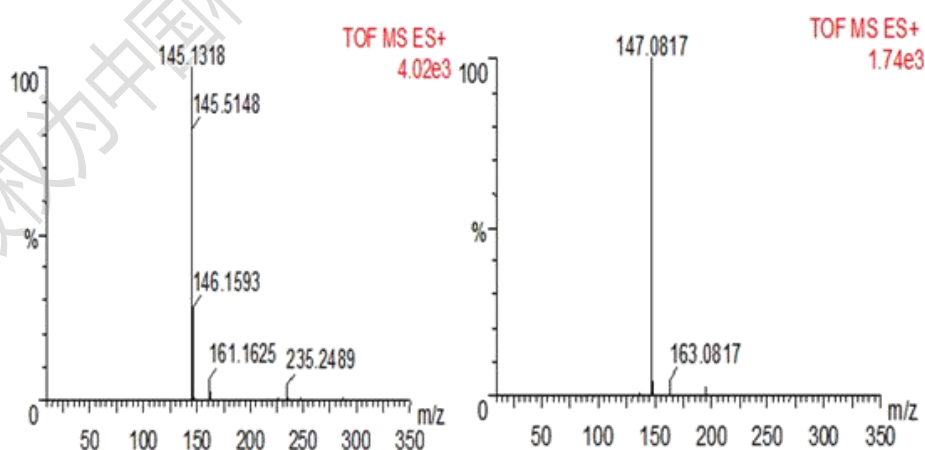


图 13 在线检测经 TLC 分离后的三氨基喹啉质谱和香豆素质谱图

编委：(按姓氏笔画顺序)

丁丽萍 关波 刘健安 刘美蓉 李巧连 向俊锋 何万中
何圣贵 郝项 赵志娟 赵镇文 袁震

网址：<http://cpam.iccas.ac.cn>

创新

求是

团结

奉献



中国科学院化学研究所
INSTITUTE OF CHEMISTRY CHINESE ACADEMY OF SCIENCES